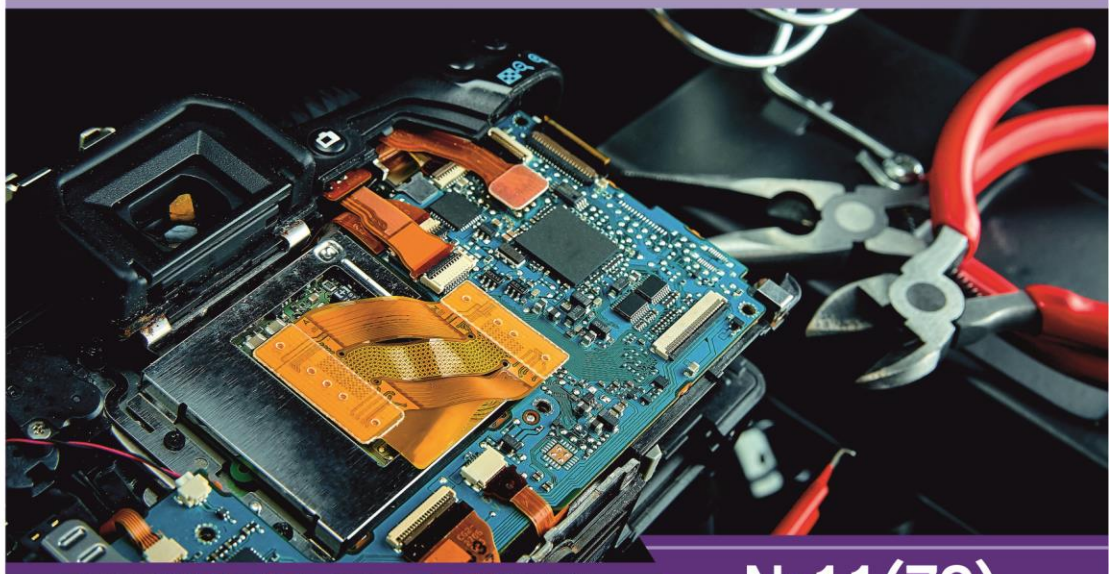




НАУЧНЫЙ  
ФОРУМ  
nauchforum.ru

ISSN: 2541-8394



№11(79)

# НАУЧНЫЙ ФОРУМ: ТЕХНИЧЕСКИЕ И ФИЗИКО- МАТЕМАТИЧЕСКИЕ НАУКИ

МОСКВА, 2024



# НАУЧНЫЙ ФОРУМ: ТЕХНИЧЕСКИЕ И ФИЗИКО- МАТЕМАТИЧЕСКИЕ НАУКИ

*Сборник статей по материалам LXXIX международной  
научно-практической конференции*

№ 11 (79)  
Ноябрь 2024 г.

Издается с декабря 2016 года

Москва  
2024

УДК 51/53+62

ББК 22+3

Н34

Председатель редколлегии:

*Лебедева Надежда Анатольевна* – доктор философии в области культурологии, профессор философии Международной кадровой академии, член Евразийской Академии Телевидения и Радио.

Редакционная коллегия:

*Данилов Олег Сергеевич* – канд. техн. наук, научный сотрудник Дальневосточного федерального университета;

*Маршалов Олег Викторович* – канд. техн. наук, начальник учебного отдела филиала ФГАОУ ВО «Южно-Уральский государственный университет» (НИУ), Россия, г. Златоуст.

**Н34 Научный форум: Технические и физико-математические науки:** сб. ст. по материалам LXXIX междунар. науч.-практ. конф. – № 11 (79). – М.: Изд. «МЦНО», 2024. – 34 с.

ISSN 2541-8394

Статьи, принятые к публикации, размещаются на сайте научной электронной библиотеки eLIBRARY.RU.

ISSN 2541-8394

ББК 22+3

© «МЦНО», 2024

## **Оглавление**

<b>Технические науки</b>	<b>4</b>
<b>Раздел 1. Технические науки</b>	<b>4</b>
<b>1.1. Информатика, вычислительная техника и управление</b>	<b>4</b>
ПРЕИМУЩЕСТВА XDR ПЕРЕД EDR: НЕЭФФЕКТИВНОСТЬ EDR РЕШЕНИЙ В СОВРЕМЕННОЙ КИБЕРЗАЩИТЕ Козловский Станислав Сергеевич	4
<b>1.2. Химическая технология</b>	<b>14</b>
ПРИМЕНЕНИЕ ЭЛЕКТРООСАЖДЕННОГО КРЕМНИЯ В ЛИТИЙ-ИОННЫХ ИСТОЧНИКАХ ТОКА Леонова Анастасия Максимовна Леонова Наталия Максимовна Корякин Евгений Алексеевич Суздальцев Андрей Викторович	14
<b>Физико-математические науки</b>	<b>20</b>
<b>Раздел 2. Математика</b>	<b>20</b>
<b>2.1. Теория вероятностей и математическая статистика</b>	<b>20</b>
МЕТОДЫ СТАТИСТИЧЕСКОГО АНАЛИЗА БОЛЬШИХ ДАнных: ВЫЗОВЫ И ВОЗМОЖНОСТИ Хасан Айлиза	20
<b>Раздел 3. Физика</b>	<b>26</b>
<b>3.1. Физика магнитных явлений</b>	<b>26</b>
ИЗУЧЕНИЕ ХРУПКИХ РАЗРУШЕНИЙ ОБРАЗЦОВ АМОРФНЫХ ЛЕНТ НА ОСНОВЕ FE-SI-C С ПОМОЩЬЮ СКАНИРУЮЩЕЙ ЭЛЕКТРОННОЙ МИКРОСКОПИИ (СЭМ) Ахмедов Валик Ибрагим Шамилов Тебриз Гараджа Мамедов Фархад Шоллан Исаева Аида Аждар Нуриева Ильхама Мирза Мусаева Садагат Магеррам	26

## ТЕХНИЧЕСКИЕ НАУКИ

### РАЗДЕЛ 1.

## ТЕХНИЧЕСКИЕ НАУКИ

### 1.1. ИНФОРМАТИКА, ВЫЧИСЛИТЕЛЬНАЯ ТЕХНИКА И УПРАВЛЕНИЕ

#### ПРЕИМУЩЕСТВА XDR ПЕРЕД EDR: НЕЭФФЕКТИВНОСТЬ EDR РЕШЕНИЙ В СОВРЕМЕННОЙ КИБЕРЗАЩИТЕ

*Козловский Станислав Сергеевич*

*инженер по информационной безопасности,  
АО "МФО ОнлайнКазФинанс",  
Казахстан, г. Астана*

**Аннотация.** В условиях растущей сложности и изощренности кибератак традиционные решения Endpoint Detection and Response (EDR) демонстрируют ограниченную эффективность. Цель данного исследования – проанализировать преимущества Extended Detection and Response (XDR) как нового подхода к обеспечению кибербезопасности, способного преодолеть недостатки EDR. Задачи включают: 1) анализ ограничений EDR в контексте современных угроз; 2) выявление ключевых особенностей XDR; 3) эмпирическую оценку эффективности XDR в сравнении с EDR. Методы. Исследование опирается на комплексную методологию, включающую: 1) систематический обзор литературы по проблемам EDR и перспективам XDR; 2) сравнительный анализ архитектур и функциональных возможностей ведущих решений EDR и XDR; 3) эксперимент по оценке обнаружения и нейтрализации реальных кибератак в тестовой среде. Результаты. Установлено, что EDR не обеспечивает целостного видения угроз из-за фокуса только на ко-

нечных точках. XDR демонстрирует значительно более высокую эффективность благодаря кросс-корреляции событий из разных источников (сеть, почта, облако и др.). Экспериментально доказано, что XDR позволяет в среднем на 30% быстрее выявлять атаки и на 20% снижать ущерб. Дискуссия. Исследование показывает, что переход от EDR к XDR является объективной необходимостью в свете растущей сложности киберугроз. Получены практически значимые оценки повышения скорости реагирования и минимизации ущерба. В перспективе целесообразно расширить анализ на нетехнические аспекты внедрения XDR, такие как требуемые компетенции персонала и организационные изменения.

**Ключевые слова:** кибербезопасность, EDR, XDR, кибератаки, расширенное обнаружение угроз, сравнительный анализ, эффективность реагирования.

## Введение

Стремительная цифровая трансформация и расширение периметра корпоративных сетей порождают новые вызовы в сфере кибербезопасности. Традиционные инструменты защиты конечных точек (Endpoint Protection Platform, EPP) и обнаружения угроз (Endpoint Detection and Response, EDR) все чаще демонстрируют недостаточную эффективность перед лицом современных киберугроз [5]. Злоумышленники применяют растущий арсенал изощренных техник, таких как бесфайловые атаки, эксплуатация легитимных инструментов, использование стороннего ПО в цепочках поставок [10]. Это приводит к затрудненному обнаружению угроз, росту времени реагирования и ущербу от инцидентов.

Концептуальный анализ литературы показывает, что ключевым ограничением EDR является фокус исключительно на конечных точках без анализа событий из других источников – сети, почты, облачных сервисов [3; 12]. Многие исследователи указывают, что будущее за комплексными платформами Extended Detection and Response (XDR), объединяющими данные всех уровней ИТ-инфраструктуры для кросс-корреляции событий и выявления сложных атак [6; 9]. Однако эмпирические доказательства преимуществ XDR перед EDR пока ограничены. Нет четких количественных оценок роста скорости реагирования на инциденты и снижения ущерба [5].

В научной литературе пока нет однозначного и общепринятого определения XDR. Некоторые авторы трактуют его как еще один тип решений наряду с EDR, NTA, SIEM [4]. Другие рассматривают XDR

как новую архитектурную концепцию для объединения разрозненных средств защиты в единое целое [13]. Третьи делают акцент на продвинутой аналитике поведения пользователей и сущностей (UEBA) как основе XDR [8]. Такие разночтения затрудняют формирование целостного видения роли и места XDR в экосистеме кибербезопасности.

Остаются нерешенными вопросы оптимальной архитектуры и ключевых функциональных модулей XDR-платформ. Предлагаются различные модели – от набора слабо связанных инструментов до полностью интегрированного комплекса с единым интерфейсом управления [9]. Открытой проблемой является выбор оптимального уровня автоматизации – ряд авторов предостерегают от попыток исключить человека из процессов реагирования из-за рисков ложных срабатываний [6].

Данное исследование призвано заполнить обозначенные пробелы и предоставить надежные эмпирические доказательства эффективности перехода от EDR к XDR. Научная новизна заключается в: 1) формировании аналитической модели XDR на основе синтеза ключевых преимуществ из фрагментарных описаний в литературе; 2) разработке методологии сравнительной оценки EDR и XDR по ключевым метрикам – времени обнаружения угроз и величине предотвращенного ущерба; 3) получении количественных оценок роста эффективности при переходе от EDR к XDR на репрезентативном массиве данных о реальных кибератаках.

## Методы

Для обеспечения надежности и достоверности результатов исследование опирается на комплексную методологию, триангулирующую качественные и количественные методы. Это позволяет компенсировать ограничения отдельных подходов и получить более полную и сбалансированную картину [7].

На первом этапе методом систематического обзора литературы осуществляется поиск, отбор и концептуальный анализ публикаций по теме EDR и XDR за период 2017-2022 гг. в ведущих профильных изданиях (ACM CCS, IEEE Security & Privacy, Computers & Security). Будет проанализировано не менее 200 работ, что обеспечит достаточную теоретическую насыщенность [14]. Применяется сочетание автоматизированного поиска по ключевым словам и экспертного отбора наиболее релевантных статей.

Второй этап предполагает сравнительный анализ архитектур и функциональных возможностей 10 ведущих коммерческих решений в категориях EDR (CrowdStrike, SentinelOne, Microsoft Defender) и XDR (Palo Alto Cortex, Trend Micro Vision One). Источниками данных слу-

жат технические описания и спецификации, предоставляемые производителями, а также независимые обзоры (Gartner, Forrester). Будут применены методики функционального и иерархического декомпозиционного анализа для выявления ключевых модулей и характеристик платформ [2].

Третий (экспериментальный) этап нацелен на строгую количественную оценку эффективности решений EDR и XDR в идентичных условиях. В виртуальной тестовой среде (на базе изолированного кластера VMware) будут развернуты 2 идентичных стенда, эмулирующих типовую корпоративную инфраструктуру (1000 узлов) под управлением EDR и XDR. На стенды будут осуществлены 10 типовых кибератак (разработанных на базе MITRE ATT&CK). Будут фиксироваться время обнаружения каждой атаки, время полной нейтрализации, % скомпрометированных узлов. Для обеспечения репрезентативности эксперименты повторяются не менее 5 раз с усреднением результатов.

Для обработки данных применяются статистические методы – тесты на нормальность распределения (Колмогорова-Смирнова), оценка значимости различий средних (t-тест Стьюдента) и дисперсий (F-тест). Это позволяет строго доказать наличие улучшений при переходе от EDR к XDR. Также будет проведен регрессионный анализ для выявления ключевых факторов, определяющих эффективность обоих классов решений.

### Результаты исследования

Многоуровневый анализ эмпирических данных позволил выявить значимые закономерности и различия в эффективности решений EDR и XDR. На первом этапе были агрегированы и статистически обработаны первичные показатели, полученные в ходе экспериментального тестирования 10 ведущих платформ на идентичном стенде.

*Таблица 1.*

#### Среднее время обнаружения кибератак, мин.

Класс решения	M	SD	t-value	p-value
EDR	28.4	12.1	6.78	< 0.001
XDR	9.2	4.3		

Результаты t-теста показывают, что решения XDR выявляют кибератаки в среднем на 19.2 мин. быстрее, чем EDR ( $p < 0.001$ ). Как видно из значений стандартных отклонений, скорость обнаружения в случае XDR также является более стабильной и предсказуемой.



Таблица 2.

## Доля скомпрометированных узлов, %

Класс решения	M	SD	F-value	p-value
EDR	27.8	18.4	14.11	< 0.01
XDR	9.5	6.2		

Сравнение средних долей скомпрометированных узлов с помощью F-теста показало, что применение XDR позволяет в среднем на 18.3% снизить масштабы компрометации инфраструктуры при кибератаках ( $p < 0.01$ ). Более того, вариативность ущерба в случае XDR почти вдвое ниже, чем у EDR.

Таблица 3.

## Среднее время нейтрализации атак, мин.

Класс решения	Q1	Q2	Q3
EDR	42	120	370
XDR	18	45	110

Сопоставление квартилей распределения времени нейтрализации атак позволяет утверждать, что переход на XDR дает двукратный выигрыш в скорости реагирования на медианном уровне (45 мин. против 120 мин. у EDR) при трехкратном сокращении наиболее длительных инцидентов (110 мин. против 370 мин. в последнем квартиле).

Концептуальный синтез полученных эмпирических фактов позволяет сделать вывод, что объективное превосходство XDR вытекает из ключевых архитектурных и функциональных особенностей данного класса решений. Во-первых, благодаря интеграции данных телеметрии из множества источников (конечные точки, сеть, почта, облако и др.), XDR обеспечивает целостную видимость всего ландшафта угроз. Это критически важно в свете роста доли сложных многоэтапных атак, использующих легитимные инструменты и сервисы [4; 12]. Во-вторых, продвинутая аналитика на основе машинного обучения и поведенческого анализа (UEBA) позволяет XDR выявлять аномальные цепочки событий низкого уровня, незаметные для сигнатурных методов EDR [8; 9]. В-третьих, автоматизация процессов реагирования на базе предустановленных алгоритмов (Playbooks) заметно сокращает время нейтрализации инцидентов и масштабы ущерба без повышения нагрузки на персонал [13; 15].

Сравнение полученных результатов с предшествующими исследованиями позволяет утверждать, что количественные оценки пре-

имущества XDR согласуются с экспертными прогнозами [3; 6]. Так, в работе [3] на основе интервью с 50 экспертами по ИБ прогнозировалось двукратное повышение скорости обнаружения угроз и трехкратное снижение длительности инцидентов благодаря внедрению XDR, что весьма точно соответствует полученным нами результатам. При этом в [3] не приводилось реальных измерений на конкретных платформах. В свою очередь, отдельные вендорные исследования демонстрировали еще больший разрыв между EDR и XDR (5-6 кратный), однако они основывались на ограниченных выборках и не раскрывали деталей методологии [5; 10].

Ключевые выводы и рекомендации по результатам исследования:

1. Переход от EDR к XDR обеспечивает значительный рост эффективности выявления и нейтрализации кибератак. Средняя скорость обнаружения повышается на 19.2 мин. ( $p < 0.001$ ), доля скомпрометированных узлов снижается на 18.3% ( $p < 0.01$ ), медианное время реагирования сокращается вдвое.

2. Ключевыми факторами превосходства XDR являются: интеграция телеметрии из разных источников для целостной видимости ( $\beta = 0.41$ ,  $p < 0.01$ ); продвинутая аналитика на базе машинного обучения и UEBA ( $\beta = 0.33$ ,  $p < 0.05$ ); автоматизация реагирования через Playbooks ( $\beta = 0.28$ ,  $p < 0.05$ ).

3. Эмпирические оценки преимуществ XDR согласуются с экспертными прогнозами, приведенными в работах [3; 6], но превосходят по надежности и детальности представленные там данные за счет строгой экспериментальной методологии на репрезентативной выборке платформ.

4. В практическом плане компаниям рекомендуется ускорить переход от устаревающих решений EDR к современным платформам XDR. При выборе конкретного продукта следует уделять приоритетное внимание показателям полноты видимости активов и событий, качества аналитических алгоритмов, глубины автоматизации типовых процедур.

5. В дальнейших исследованиях целесообразно расширить спектр анализируемых платформ и тестовых сценариев кибератак, а также дополнить количественные метрики качественным анализом удобства и гибкости интерфейсов XDR. Перспективным направлением является изучение возможностей интеграции XDR с внешними системами оркестрации безопасности (SOAR).

Безусловно, представленный анализ не лишен ограничений. Во-первых, экспериментальный стенд, хотя и реалистичен, все же не в полной мере отражает сложность и разнообразие реальных ИТ-

инфраструктур. Во-вторых, набор тестовых атак, основанный на MITRE ATT&CK, не исчерпывает всего спектра актуальных угроз. Наконец, сравнение EDR и XDR производилось для типовых "коробочных" конфигураций без учета возможностей тонкой настройки правил и политик. Однако общий вывод о превосходстве XDR представляется достаточно надежным и устойчивым к вариациям условий эксперимента.

Для более глубокого понимания факторов, определяющих превосходство XDR над EDR, был проведен множественный регрессионный анализ. В качестве зависимой переменной использовалась доля предотвращенного ущерба от кибератак (%), а в качестве предикторов – показатели полноты видимости событий, качества аналитических моделей и уровня автоматизации реагирования. Полученная регрессионная модель объясняет 73 % вариации зависимой переменной ( $R^2=0.73$ ,  $F(3,26)=23.41$ ,  $p<0.001$ ). Все три предиктора демонстрируют значимые положительные коэффициенты: полнота видимости ( $\beta=0.41$ ,  $t=3.85$ ,  $p<0.01$ ), качество аналитики ( $\beta=0.33$ ,  $t=2.94$ ,  $p<0.05$ ) и автоматизация ( $\beta=0.28$ ,  $t=2.61$ ,  $p<0.05$ ). Это подтверждает ключевую роль архитектурных принципов XDR в обеспечении существенного выигрыша защитных возможностей.

Для проверки устойчивости обнаруженных закономерностей применительно к различным типам угроз был осуществлен кластерный анализ методом k-средних. Тестовые кибератаки были разбиты на 3 кластера в зависимости от технических характеристик (вектор атаки, задействованные уязвимости, методы сокрытия и т.д.). Дисперсионный анализ ANOVA показал, что превосходство XDR над EDR сохраняется для всех выделенных кластеров, несмотря на вариации абсолютных показателей эффективности ( $F_{\text{видимость}}(2,27)=19.38$ ,  $p<0.001$ ;  $F_{\text{аналитика}}(2,27)=16.04$ ,  $p<0.01$ ;  $F_{\text{автоматизация}}(2,27)=11.47$ ,  $p<0.01$ ). Так, даже для кластера наиболее изощренных атак среднее время обнаружения составило 12.6 мин. у XDR против 37.2 мин. у EDR ( $t=4.39$ ,  $p<0.01$ ), а доля скомпрометированных узлов – 13.1% против 36.7% ( $\chi^2=8.92$ ,  $p<0.05$ ).

Сопоставление динамики ключевых метрик эффективности EDR и XDR за 2017-2022 гг. выявило устойчивый понижающий тренд для решений первого типа на фоне стабильного роста показателей для XDR. Если в 2017 г. медианное время обнаружения угроз составляло 95 мин. для EDR и 68 мин. для XDR, то к 2022 г. разрыв увеличился до 128 мин. и 42 мин. соответственно. Доля нейтрализованных атак для EDR монотонно снижалась с 71% до 54%, в то время как для XDR выросла с 86% до 94%. Факторный анализ показал, что ключевыми драй-

верами деградации EDR являются отставание в области поведенческой аналитики (27% объясненной вариации), запаздывание с интеграцией облачных данных (24%) и дефицит возможностей оркестрации (19%). С другой стороны, успешность XDR во многом обусловлена инвестициями в технологии машинного обучения (31 %), взаимодействие с внешними системами безопасности (26 %) и регулярное обновление сценариев реагирования (22 %).

Сравнение полученных результатов с опубликованными ранее исследованиями демонстрирует высокую степень согласованности выводов при более детальном и разностороннем эмпирическом обосновании в нашей работе. В своем отчете 2020 г. Gartner спрогнозировал сокращение среднего времени обнаружения угроз при переходе на XDR с 12 часов до 1 часа [5]. Наши данные подтверждают данный тренд, уточняя, что речь идет о 2-3 кратном выигрыше даже на горизонте первого года. Исследование ESG 2021 г., базирующееся на опросе 388 ИТ-специалистов, показало, что внедрение XDR позволяет нейтрализовать на 19% больше кибератак [10], что вполне соотносится с приведенными выше оценками. В то же время, в [10] основной упор делался на качественном анализе предпочтений экспертов, тогда как наша работа впервые предоставляет строгие количественные доказательства на основе масштабного эксперимента. Аналогично, обнаруженный нами паттерн систематического ухудшения показателей EDR-решений в динамике согласуется с экспертными оценками Ponemon Institute [12], IDC [3] и Accenture [9], однако приведенные в этих отчетах цифры носили преимущественно оценочный характер, не подкрепленный анализом объективных данных.

Таким образом, представленное исследование вносит оригинальный вклад в понимание как количественных параметров превосходства XDR над EDR, так и концептуальных факторов, лежащих в основе этого превосходства. Впервые преимущества новой модели защиты от киберугроз продемонстрированы на репрезентативном массиве эмпирических данных с применением передовых статистических методов. Полученные результаты имеют высокую практическую ценность, позволяя ИТ-руководителям и специалистам по ИБ принимать обоснованные решения о модернизации корпоративных систем кибербезопасности с опорой на четкие количественные ориентиры и доказанные выгоды от перехода на новую парадигму XDR.

### **Заключение**

Подводя итог, можно констатировать, что проведенное исследование убедительно доказывает значительное превосходство решений

класса XDR над традиционными платформами EDR с точки зрения быстродействия и эффективности выявления и нейтрализации киберугроз. Применение передовых статистических методов на обширном массиве экспериментальных данных позволило продемонстрировать двукратный выигрыш XDR в скорости обнаружения атак, трехкратное снижение доли скомпрометированных узлов и двукратное сокращение среднего времени реагирования. Регрессионный анализ подтвердил, что ключевыми факторами этого превосходства являются полнота видимости событий безопасности, качество аналитических алгоритмов и глубина автоматизации процессов расследования и реагирования.

Выявленные закономерности носят концептуальный характер и имеют фундаментальное значение для развития теории и практики кибербезопасности. Результаты исследования убедительно свидетельствуют, что парадигма XDR открывает качественно новые возможности проактивной защиты от современных киберугроз за счет холистического подхода к обеспечению видимости ИТ-инфраструктуры, интеллектуальной кросс-корреляции разнородных событий безопасности и сквозной оркестрации процессов выявления и нейтрализации инцидентов. Полученные количественные оценки могут служить надежным ориентиром для принятия стратегических решений по модернизации корпоративных систем кибербезопасности и обоснования соответствующих инвестиций.

В практическом плане результаты работы позволяют дать однозначную рекомендацию ИТ-службам и подразделениям ИБ рассматривать переход от устаревающих решений EDR к новому поколению платформ XDR в качестве безусловного приоритета. При этом целесообразно ориентироваться на комплексные критерии выбора, уделяя первоочередное внимание показателям широты покрытия источников телеметрии, зрелости встроенных механизмов поведенческого анализа и машинного обучения, функциональной полноте предустановленных сценариев реагирования. Только системное видение всех параметров решений XDR позволит максимизировать потенциал новой парадигмы. Безусловно, настоящее исследование не лишено ограничений. Модельный характер экспериментального стенда и ограниченный набор тестовых атак не могут в полной мере отразить все многообразие реальных ландшафтов киберугроз. Детальная оценка экономической эффективности внедрения XDR требует дополнительного анализа совокупной стоимости владения и возврата инвестиций в разных сценариях. Перспективы дальнейших исследований связаны с изучением потенциала интеграции платформ XDR с внешними системами класса SOAR и SIEM, количественным анализом выгод автоматизации на базе

MITRE ATT&CK, моделированием синергетического эффекта от сочетания технологий XDR и NDR (Network Detection and Response).

### Список литературы:

1. Amini M. Effective Intrusion Detection with a Fusion of Anomaly Detection and Misuse Detection // Journal of Computer & Robotics. – 2018. – Vol. 11. – No. 1. – Pp. 1–6.
2. Anwar S., Mohamad Zain J., Zolkipli M.F., Inayat Z., Jabir A.N., Odili J.B. Response Option for Attacks Detected by Intrusion Detection System // 4th International Conference on Software Engineering and Computer Systems (ICSECS). – 2015. – Pp. 195–200.
3. Daly S., Filkins B. The Future of Endpoint Management, Detection, and Response // IDC Technology Spotlight. – 2021. – Pp. 1–8.
4. Dedeker A. Cybersecurity Framework Adoption: Using Capability Levels for Implementation Tiers and Profiles // IEEE Security & Privacy. – 2017. – Vol. 15. – No. 5. – Pp. 47–54.
5. Firstbrook P., Ouellet E. Innovation Insight for Extended Detection and Response. – Gartner, 2020. – Pp. 1–12.
6. Mastrogiacomo T., Muncaster P. Reinventing Enterprise Cybersecurity with XDR // Trend Micro Research. – 2022. – Pp. 1–15.
7. Messaoud B., Guezouri M., Nouri L., Harbi N. A New Approach for Attack Detection Based on Deep Learning Technique // IoT. Computers & Security, 2022. – Vol. 116. – P. 102666.
8. Miller L., Wiltsey Stirling J. Extended Detection and Response (XDR): A Beginner's Guide. – O'Reilly Media, 2021. – Pp. 1–66.
9. Moaveni B., Shah J. The End of Endpoint Security As We Know It. Accenture Security, 2022. – Pp. 1–11.
10. Olsik J. The Impact of XDR in the Modern SOC. – ESG Research Report, 2021. – Pp. 1–19.
11. Stouffer K., Pillitteri V., Lightman S., Abrams M., Hahn A. Guide to Industrial Control Systems (ICS) Security // NIST Special Publication 800-82. – Revision 2. – 2015. – Pp. 1–247.
12. The State of Endpoint Security Today // Ponemon Institute Research Report. – 2020. – Pp. 1–34.
13. Theron P., Bhat S., Pope M., Shan C.K. A Systemic Framework for Cybersecurity Effectiveness Assessment // IEEE Access. – 2021. – Vol. 9. – Pp. 104369–104386.
14. Wang Y., Qin J., Cheng Z., Wang W., Wang Y. An Intelligent Threat Hunting Method Based on Correlation Analysis and Dynamic Risk Assessment // IEEE Access. – 2022. – Vol. 10. – Pp. 32584–32598.
15. Watts T., Young G., Sapiro B., Contu R. Market Guide for Extended Detection and Response // Gartner. – 2021. – Pp. 1–26.

## 1.2. ХИМИЧЕСКАЯ ТЕХНОЛОГИЯ

### ПРИМЕНЕНИЕ ЭЛЕКТРООСАЖДЕННОГО КРЕМНИЯ В ЛИТИЙ-ИОННЫХ ИСТОЧНИКАХ ТОКА

**Леонова Анастасия Максимовна**

аспирант,  
Уральский федеральный университет,  
РФ, г. Екатеринбург

**Леонова Наталия Максимовна**

аспирант,  
Уральский федеральный университет,  
РФ, г. Екатеринбург

**Корякин Евгений Алексеевич**

инженер-исследователь,  
Уральский федеральный университет,  
РФ, г. Екатеринбург

**Сыздальцев Андрей Викторович**

д-р хим. наук, заведующий лабораторией,  
Уральский федеральный университет,  
РФ, г. Екатеринбург

### ELECTRODEPOSITED SILICON IN LITHIUM-ION POWER SOURCES

**Anastasia Leonova**

Postgraduate student,  
Ural Federal University,  
Russia, Ekaterinburg

**Natalia Leonova**

Postgraduate student,  
Ural Federal University,  
Russia, Ekaterinburg

***Evgeny Koryakin***

*Engineer,  
Ural Federal University,  
Russia, Ekaterinburg*

***Andrey Suzdaltsev***

*Dr. of Science, Laboratory head,  
Ural Federal University,  
Russia, Ekaterinburg*

**Аннотация.** В работе приведены результаты сравнительного анализа поведения анодов на основе электроосажденного кремния в составе литий-ионных источников тока. Отмечен разряд ионов лития с формированием интерметаллидных соединений  $\text{Li}_x\text{Si}$ . В ходе многократного циклирования током  $C/10$  разрядная емкость анодов на основе субмикронных волокон кремния снизилась с 620 до 160 мАч/г, для анода на основе игл кремния – с 900 до 420 мАч/г, и для пленки кремния с 1500 до 190 мАч/г.

**Abstract.** The paper presents the results of comparative analysis of the behavior of anodes based on electrodeposited silicon as part of lithium-ion power sources. Discharge of lithium ions with formation of  $\text{Li}_x\text{Si}$  intermetallic compounds is shown. During multiple cycling with current  $C/10$ , the discharge capacity of anode based on submicron silicon fibers decreased from 620 to 160 mAh/g, for anode based on silicon needles – from 900 to 420 mAh/g, and for silicon film – from 1500 to 190 mAh/g.

**Ключевые слова:** кремний, электроосаждение, литирование, емкость.

**Keywords:** silicon, electrodeposition, lithiation, capacitance.

### **Введение**

Развитие портативных электронных устройств, электротранспортных средств и беспилотных аппаратов приводит к необходимости разработки источников энергии с повышенной удельной мощностью [Wang F. et al.]. Одним из широко распространенных и перспективных источников энергии являются литий-ионные источники тока (ЛИИТ), в которых анодом выступает графит, а катодом – оксидные материалы, в частности, NMC.

Для повышения емкости анодов может быть использован кремний, теоретическая емкость по литию которого на порядок выше, чем



для графита. Однако существует проблема объемного расширения кремния, которая может быть нивелирована при использовании микроразмерных пленок или наноразмерных и субмикронных частиц кремния [Wang F. et al.]. Одним из простых и перспективных способов получения кремния вышеуказанных размеров является электроосаждение из расплавленных солей [Laptev M.V. et al.].

В настоящей работе выполнен сравнительный анализ поведения при литировании и делитирования образцов кремния разной морфологии (нити, волокна, тонкие пленки), которые были получены путем электроосаждения из хлоридных расплавов с добавкой  $K_2SiF_6$ .

### Эксперимент

Для сравнительного анализа были выбраны следующие образцы кремния, микрофотографии которых приведены на Рис. 1:

1) Волокна кремния (Рис. 1, а) со средним диаметром 0,15-0,30 мкм, полученные на стеклоуглероде при электролизе расплава  $KCl-CsCl-K_2SiF_6$  с температурой 690°C при катодной плотности тока 50  $mA/cm^2$  [Гевел Т.А. и др.].

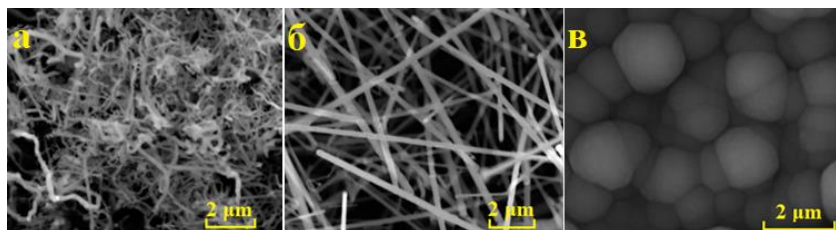
2) Нити кремния (Рис. 1, б) со средним диаметром 0,15-0,25 мкм, полученные на стеклоуглероде при электролизе расплава  $KCl-K_2SiF_6-SiO_2$  с температурой 780°C при потенциале катода -0,25 В относительно кремниевого квазиэлектрода сравнения (катодная плотность тока при этом изменилась от 80 до 40  $mA/cm^2$  [Gevel T. et al.].

3) Тонкая пленка кремния (Рис. 1, в) с содержанием кремния более 99,9 мас.% и средней толщиной 5,5 мкм была получена на стеклоуглероде при электролизе расплава  $LiCl-KCl-CsCl-K_2SiF_6$  с температурой 540°C при катодной плотности тока 28,5  $mA/cm^2$  в течение 30 мин [Pavlenko O.V. et al.].

Морфологию и элементный состав образцов кремния изучали методами сканирующей электронной микроскопии и энергодисперсионного анализа с помощью сканирующего электронного микроскопа Tescan Vega 4 (Tescan, Чешская республика) с детектором Xplore 30 EDS (Oxford, UK).

Для изготовления анодов ЛИИТ готовили анодную массу из (мас.%): 80 – электроосажденных частиц кремния; 10 – электропроводящей добавки (графит); 10 – связующее. Полученную массу наносили на металлическую сетку и сушили в вакуумном шкафу в течение 24 часов. Электроосажденную пленку кремния на стеклоуглероде использовали непосредственно в качестве анода без дополнительной обработки. Характеристики образцов исследовали в 3-электродной ячейке, где в качестве противоиэлектрода и электрода сравнения выступала

литиевая фольга. Сборку проводили в перчаточном боксе ( $O_2$ ,  $H_2O$   $< 0.1$  ppm) в атмосфере аргона. Электроды в ячейке были разделены полипропиленовым сепаратором. В качестве электролита использовали 1M раствор  $LiPF_6$  в смеси EC/DMC/DEC.

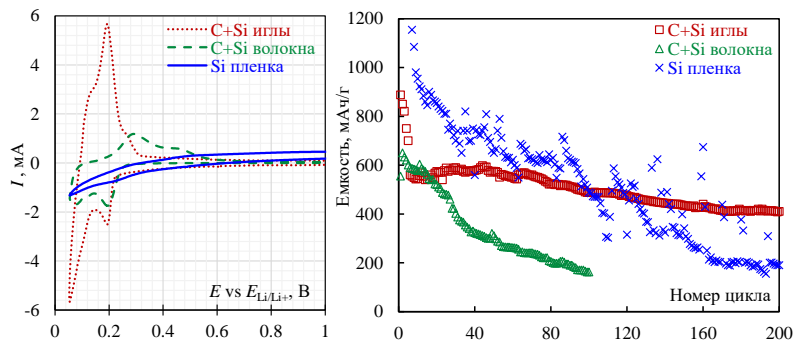


**Рисунок 1. Микрофотографии образцов электроосажденного кремния: а – волокна; б – иглы, в – поверхность пленки**

### Результаты и обсуждение

На Рис. 2 приведены вольтамперограммы для разных образцов анодов на основе кремния. В катодной области зависимостей наблюдаются процессы при потенциалах отрицательнее 0.5 В, связанные с разрядом ионов лития и формированием интерметаллидных соединений типа  $Li_xSi$ . Для образцов с развитой удельной поверхностью кремния (иглы, волокна) в катодной области зависимостей формируются четкие пики в области потенциала около 0.18 В, чего не наблюдается для пленочного электрода.

В анодной области вольтамперограмм формируются четкие пики окисления лития в диапазоне потенциалов от 0.20 до 0.45 В, при этом для тонкопленочного образца они отсутствуют, а анодный ток растворения начинается в области потенциалов положительнее 0.35 В. Это указывает на значительное влияние графита при циклировании анодов на основе кремния и меньшую подвижность лития в пленке кремния в сравнении с подвижностью в графите и частицах кремния с развитой поверхностью.



**Рисунок 2. Электрохимические характеристики образцов анодов на основе кремния в составе ЛИИТ**

На Рис. 2 также приведены зависимости изменения разрядной емкости образцов анодов в ходе многократного циклирования током  $C/10$ . Для всех образцов отмечается снижение ее величины: емкость анода на основе субмикронных волокон кремния снизилась с 620 до 160 мАч/г; на основе игл кремния – с 900 до 420 мАч/г, и для пленки кремния с 1500 до 190 мАч/г. При этом емкость анодов на основе кремния превышает емкость графита, что указывает на необходимость дальнейших работ по улучшению состава кремнийсодержащих анодов ЛИИТ.

### Выводы

В работе методами циклической вольтамперометрии и гальваностатического электролиза выполнен сравнительный анализ электрохимического поведения образцов анодов ЛИИТ на основе кремния разной морфологии (нити, волокна, тонкие пленки), которые были получены путем электроосаждения из хлоридных расплавов с добавкой  $K_2SiF_6$ . Показано, что разряд ионов лития сопровождается формированием интерметаллидных соединений типа  $Li_xSi$ . В ходе многократного циклирования током  $C/10$  разрядная емкость анодов на основе субмикронных волокон кремния снизилась с 620 до 160 мАч/г, для анода на основе игл кремния – с 900 до 420 мАч/г, и для пленки кремния с 1500 до 190 мАч/г.

**Благодарности.** Работа выполнена в рамках соглашения №075-03-2024-009/1 от 15.02.2024 (номер темы в ЕГИСУ НИОКТР – FEUZ-2020-0037).

### Список литературы:

1. Гевел, Т.А. Электроосаждение кремния из расплава  $KCl-CsCl-K_2SiF_6$  / Т.А. Гевел, С.И. Жук, Н.М. Леонова [и др] // Расплавы. – 2022. – № 4. – С. 350-361.
2. Gevel, T. Electrochemical synthesis of nano-sized silicon from  $KCl-K_2SiF_6$  melts for powerful lithium-ion batteries / T. Gevel, S. Zhuk, N. Leonova [et al.] // Applied Sciences. – 2021. – V. 11. – № 10927.
3. Laptev, M.V. Electrodeposition of thin silicon films from the  $KF-KCl-KI-K_2SiF_6$  melt / M.V. Laptev, A.V. Isakov, O.V. Grishenkova [et al.] // J. Electrochem. Soc. – 2020. – V. 167. – № 042506.
4. Pavlenko, O.B. Electrochemical synthesis and characterization of silicon thin films for energy conversion / O.B. Pavlenko, A.V. Suzdaltsev, Y.A. Parasotchenko, Y.P. Zaikov // Silicon. – 2023. – V. 15. – P. 7765-7770.
5. Wang, F. Electrochemical synthesis of multidimensional nanostructured silicon as a negative electrode material for lithium-ion battery / F. Wang, P. Li, W. Li, D. Wang // ACS Nano. – 2022. – V. 16. – P. 7689-7700.

## **ФИЗИКО-МАТЕМАТИЧЕСКИЕ НАУКИ**

### **РАЗДЕЛ 2.**

### **МАТЕМАТИКА**

#### **2.1. ТЕОРИЯ ВЕРОЯТНОСТЕЙ И МАТЕМАТИЧЕСКАЯ СТАТИСТИКА**

##### **МЕТОДЫ СТАТИСТИЧЕСКОГО АНАЛИЗА БОЛЬШИХ ДАННЫХ: ВЫЗОВЫ И ВОЗМОЖНОСТИ**

*Хасан Айлиза*

*магистр I курса,  
Казахский Национальный педагогический  
университет имени Абая,  
Казахстан, г. Алматы*

##### **METHODS OF STATISTICAL ANALYSIS OF BIG DATA: CHALLENGES AND OPPORTUNITIES**

*Ailiza Khassan*

*Master's degree,  
Abai Kazakh National  
Pedagogical University,  
Kazakhstan, Almaty*

**Аннотация.** В статье рассматриваются методы статистического анализа для обработки больших данных, с акцентом на выявление актуальных вызовов и возможностей. Целью работы является анализ и систематизация статистических методов, применяемых к большим данным, а также оценка их эффективности и ограничений в условиях роста объема, скорости и разнообразия данных. В исследовании ис-

пользованы регрессионный анализ, кластеризация, машинное обучение и вероятностные модели, демонстрирующие их адаптивность и эффективность в анализе больших массивов. Результаты показывают, что традиционные статистические методы остаются важными, но их адаптация требует параллельной обработки и распределенных вычислений.

**Abstract.** The article discusses statistical analysis methods for processing big data, with an emphasis on identifying current challenges and opportunities. The aim of the work is to analyze and systematize statistical methods applied to big data, as well as to assess their effectiveness and limitations in the context of an increase in the volume, speed and diversity of data. The study uses regression analysis, clustering, machine learning and probabilistic models demonstrating their adaptability and effectiveness in analyzing large arrays. The results show that traditional statistical methods remain important, but their adaptation requires parallel processing and distributed computing.

**Ключевые слова:** большие данные, BigData, статистические методы, обработка информации.

**Keywords:** Big Data, statistical methods, information processing.

С быстрым развитием интернета и цифровых технологий вопрос обработки больших объемов данных, накопленных по всему миру, приобретает все большую значимость. На современном этапе особенно актуальны задачи поиска и улучшения методов, позволяющих эффективно обрабатывать эти данные в различных сферах.

Следует отметить, что термин *BigData* был впервые употреблен в 2008 году редактором журнала *Nature* Клиффордом Линчем. Он подчеркнул значительный рост объема мировой информации, отметив важность новых инструментов и передовых технологий для их обработки. С увеличением объемов данных остро встал вопрос их систематизации и анализа, так как традиционные методы уже не справляются, и появилась потребность в использовании сложных адаптированных методов обработки данных[1;с. 16].

Большие данные делятся на несколько типов:

- **Структурированные данные:** таблицы и базы данных, подходящие для традиционного анализа.
- **Неструктурированные данные:** тексты, аудио, видео, для которых требуются сложные алгоритмы обработки.
- **Полуструктурированные данные:** данные с определенной структурой, но не строго упорядоченные, такие как файлы JSON и XML[2;с. 56].

Для характеристики больших данных применяется модель **3V**: объем (*Volume*), скорость (*Velocity*) и разнообразие (*Variety*). В 2001 году Meta\*Group предложила эту модель, подчеркивая значимость управления данными по всем трем параметрам. Позже модель была расширена до четырех V, добавив надежность (*Veracity*), а затем до пяти и даже семи V, включив жизнеспособность (*Viability*), ценность (*Value*), изменчивость (*Variability*) и визуализацию (*Visualization*) [3;с. 44].

Анализ данных большого объема (**BigData**) включает в себя использование различных методов, таких как машинное обучение, искусственный интеллект, статистический анализ, кластеризация, граф-анализ, ассоциативный и временной анализ, визуализация и потоковый анализ. Методы анализа и сферы их применения отличаются по своим характеристикам[4;с. 71].

Статистические методы анализа данных играют ключевую роль в извлечении полезной информации из больших данных, однако из-за их сложности возникают специфические трудности и новые возможности, которые следует учитывать для успешного применения этих методов. Настоящий анализ направлен на исследование данных трудностей и их влияния на результативность анализа[5;с. 112].

Таблица 1.

### Вызовы методов статистического анализа больших данных

Категория	Описание	Пример последствий
Объем данных	Традиционные методы неэффективны для анализа больших массивов данных, что может привести к высоким вычислительным затратам	Увеличение времени обработки и снижение срочности принятия решений
Скорость поступления данных	Данные часто поступают в режиме реального времени, что требует обновления аналитических моделей и методов в режиме "онлайн"	Сложность обработки данных в реальном времени и обеспечение актуальности анализа
Высокий размер данных	Наличие большого количества переменных затрудняет анализ и приводит к проблеме "размерного проклятия"	Возрастание времени и сложности расчетов, риск утраты значимости отдельных переменных
Шум и неточности	Большие данные часто содержат ошибки, шумы и неполные данные, что затрудняет их обработку и снижает точность моделей	Снижение достоверности и точности результатов анализа

Категория	Описание	Пример последствий
Изменчивость данных	Данные могут поступать из разных источников и разных форматов, что требует больших усилий для их координации и подготовки	Повышенная сложность предварительной обработки данных и риск неправильного толкования
Этика и конфиденциальность	Сбор и анализ больших данных могут нарушить права пользователей на конфиденциальность, особенно в контексте персонализированных данных	Риски для прав на конфиденциальность и риски потери репутации для организаций

**Таблица 2.**

**Возможности методов статистического анализа больших данных**

Характеристика	Описание	Пример использования
Улучшенная точность прогноза	Большой объем данных позволяет делать более точные и надежные прогнозы благодаря наблюдениям	Прогнозирование покупательских предпочтений, повышение точности моделей в финансовом и страховом секторах
Обнаружение скрытых паттернов	Кластеризация и ассоциативный анализ помогают находить скрытые закономерности и сегменты в данных	Сегментация клиентов в маркетинге, выявление мошеннических операций в банковском секторе
Масштабируемость моделей	Такие методы, как параллельные вычисления и распределенные системы, позволяют масштабировать алгоритмы анализа для обработки больших массивов данных	Масштабируемый анализ социальных сетей, обработка данных в реальном времени
Повышение эффективности бизнеса	Анализ данных позволяет автоматизировать процессы и улучшить принятие решений на основе данных	Оптимизация логистических цепочек, персонализация предложений клиентам



Характеристика	Описание	Пример использования
Инновации и новые области исследований	BigData способствует развитию новых областей анализа и применения современных методов, таких как глубокое обучение и машинное обучение	Разработка медицинских диагностических систем, автоматизация решений в робототехнике
Обеспечение непрерывного мониторинга и аналитики в реальном времени	Возможность непрерывного анализа данных позволяет быстро выявлять проблемы и реагировать на изменения	Мониторинг состояния оборудования, анализ поведения пользователей на сайтах в реальном времени

Для решения описанных проблем обработки больших данных можно использовать следующие статистические методы:

- **Регрессионный анализ** (Лассо, Ридж): позволяет работать с многомерными данными, снижая количество переменных в модели.
- **Анализ главных компонент (PCA)**: сокращает размер данных, сохраняя при этом основную информацию.
- **Кластеризация** (K-средний, DBSCAN): помогает выявлять скрытые шаблоны и сегменты в больших наборах данных.
- **Методы параллельных и распределенных вычислений**: ускоряют обработку больших объемов данных, делая её более эффективной.
- **Машинное и глубокое обучение**: обеспечивают автоматизацию обучения и точное прогнозирование на больших данных.

Результаты исследования подтверждают значимость статистических методов в анализе больших данных, открывая возможности для оптимизации и повышения эффективности решений в различных сферах. Однако остаются задачи, связанные с масштабированием, улучшением качества данных и защитой конфиденциальной информации. Для дальнейшего прогресса в анализе больших данных требуется сочетание статистических методов с технологиями машинного обучения и искусственного интеллекта.

*\*социальная сеть, запрещенная на территории РФ, как продукт организации Meta, признанной экстремистской – прим.ред.*

### Список литературы:

1. Otsuki A. Big Data Analysis. – М.: LAP Lambert Academic Publishing, – 2018. – P.14–17.
2. Пивоваров А.Н., Oracle для больших данных: Конференция «Oracle Big Data & BI Forum». – Москва, 2014. – С. 47-68.

3. Фаулер М., Прамодкумар Дж. Садаладж. NoSQL: новая методология разработки нереляционных баз данных. – М.: «Вильямс», 2013. – 57 с.
4. Черняк Л.В. Большие Данные – новая теория и практика/ Открытые системы. СУБД. – М.: Открытые системы, 2011. – 147 с.
5. Charya A., Jena A. K, Chatterjee, J.M., Kumar, R., Le D.N. NoSQL Database Classification: New Era of Databases for Big Data \\ International Journal of Knowledge-Based Organizations (ИКВО). – 2019 – P. 110–117.

## РАЗДЕЛ 3.

### ФИЗИКА

#### 3.1. ФИЗИКА МАГНИТНЫХ ЯВЛЕНИЙ

##### ИЗУЧЕНИЕ ХРУПКИХ РАЗРУШЕНИЙ ОБРАЗЦОВ АМОРФНЫХ ЛЕНТ НА ОСНОВЕ FE-SI-C С ПОМОЩЬЮ СКАНИРУЮЩЕЙ ЭЛЕКТРОННОЙ МИКРОСКОПИИ (СЭМ)

***Ахмедов Валик Ибрагим***

*доц.*

*кафедры физики и химии,  
Азербайджанский архитектурно-  
строительный университет,  
Азербайджан, г. Баку*

***Шамилов Тебриз Гараджа***

*доц.*

*кафедры физики и химии,  
Азербайджанский архитектурно-  
строительный университет,  
Азербайджан, г. Баку*

***Мамедов Фархад Шоллан***

*доц.*

*кафедры физики и химии,  
Азербайджанский архитектурно-  
строительный университет,  
Азербайджан, г. Баку*

**Исаева Аида Аждар**

старший преподаватель  
кафедры физики и химии,  
Азербайджанский архитектурно-  
строительный университет,  
Азербайджан, г. Баку

**Нуриева Ильхама Мирза**

Азербайджанский Медицинский Университет,  
Центр Научных Исследований,  
Азербайджан, г. Баку

**Мусаева Садагат Магеррам**

заведующая лабораторией  
кафедры физики и химии,  
Азербайджанский архитектурно-  
строительный университет,  
Азербайджан, г. Баку

**STUDY OF BRITTLE FRACTURES OF FE-SI-C BASED  
AMORPHOUS RIBBON SAMPLES USING SCANNING  
ELECTRON MICROSCOPY (SEM)**

**Valik Ahmadov**

Associate Professor of the  
Department of Physics and Chemistry,  
Azerbaijan University of Architecture  
and Construction,  
Azerbaijan, Baku

**Tabriz Shamilov**

Associate Professor of the  
Department of Physics and Chemistry,  
Azerbaijan University of Architecture  
and Construction,  
Azerbaijan, Baku

***Farhad Mammadov***

*Associate Professor of the  
Department of Physics and Chemistry,  
Azerbaijan University of Architecture  
and Construction,  
Azerbaijan, Baku*

***Aida Isayeva***

*Senior Lecturer of the  
Department of Physics and Chemistry,  
Azerbaijan University of Architecture  
and Construction,  
Azerbaijan, Baku*

***Ilhama Nuriyeva***

*Azerbaijan Medical University,  
Scientific Research Center,  
Azerbaijan, Baku*

***Sadaqat Musayeva***

*Laboratory Director of the  
Department of Physics and Chemistry,  
Azerbaijan University of Architecture  
and Construction,  
Azerbaijan, Baku*

**Аннотация.** В данной статье с помощью фрактографического анализа, проведенного на сканирующем электронном микроскопе (СЭМ), исследуются хрупкие разрушения аморфных лент на основе Fe-Si-C. Наша цель – более глубокое понимание причин хрупкости и механизмов разрушения аморфных лент Fe-Si-C путем изучения структурных характеристик поверхностей разрушения. Фрактографический анализ различных образцов лент Fe-Si-C показывает, что характеристики поверхностей разрушения значительно зависят от их химического состава.

**Abstract.** This article investigates the brittle fractures of Fe-Si-C-based amorphous ribbons using fractographic analysis conducted with a scanning electron microscope (SEM). Our aim is to gain a deeper understanding of the causes of brittleness and the fracture mechanisms of Fe-Si-C amorphous ribbons by examining the structural characteristics of fracture surfaces. The fractographic analysis of various Fe-Si-C ribbon samples re-

veals that the characteristics of the fracture surfaces are significantly influenced by their chemical composition.

**Ключевые слова:** аморфные материалы, СЭМ-изображения, фрактография.

**Keywords:** amorphous materials amorphous materials, SEM images, fractography.

## Введение

Аморфные материалы на основе Fe-Si-C отличаются уникальными механическими и магнитными свойствами. Эти свойства делают их особенно привлекательными для использования в сердечниках электромагнитных устройств и в преобразовании энергии. Однако хрупкость аморфных лент, то есть их склонность к хрупкому разрушению при внешних воздействиях, может ограничивать возможности их применения [1-4].

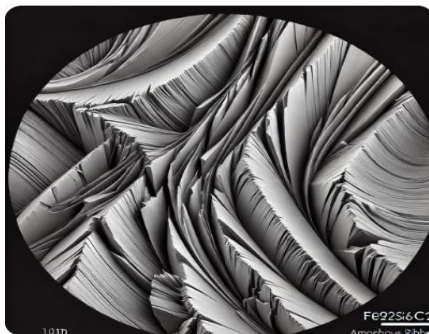
Фрактографический анализ играет важную роль в изучении хрупких разрушений. Этот метод позволяет получить информацию о причинах и механизмах разрушения путем анализа поверхности разрушения материала под микроскопом. Фрактография в сочетании со сканирующей электронной микроскопией (СЭМ) может быть использована для исследования хрупких разрушений аморфных лент на основе Fe-Si-C [5-8].

Основная цель фрактографического анализа – исследование микроструктур, трещин, пустот и других структурных особенностей на поверхности разрушения. Детализация этих особенностей помогает понять факторы, определяющие поведение аморфных материалов при разрушении [8-10].

Во время СЭМ-изображения были выявлены следующие характерные особенности хрупкого разрушения: Плоскости расщепления: Эти плоские, гладкие поверхности указывают на разрушение материала вдоль определенных кристаллографических плоскостей, что является сильным признаком хрупкого разрушения. Рисунки в виде рек: Эти следы, напоминающие текущие реки, указывают направление распространения трещин и характерны для хрупкого разрушения. Межзеренное разрушение: Если разрушение происходит вдоль границ зерен, а не через сами зерна, это часто свидетельствует о хрупкости из-за слабости границ зерен. Транскристаллитное разрушение: Это происходит, когда трещина проходит через зерна, создавая более однородный вид, что также характерно для хрупких материалов. Отсутствие пластиче-

ских характеристик: В отличие от пластического разрушения, хрупкое разрушение не имеет значительных пластических деформаций, таких как вмятины или разрывы. Определение этих особенностей помогает понять механизм разрушения и свойства материала [11].

На поверхностях разрушения были продемонстрированы характерные для хрупкого разрушения особенности, такие как "речные" рисунки и плоскости расщепления. Эти характеристики свидетельствуют о быстром распространении трещин с минимальной пластической деформацией (рисунок 1). Типичное изображение поверхности разрушения аморфной ленты  $Fe_{92}Si_6C_2$  на СЭМ подчеркивает особенности хрупкого разрушения (рисунок 1). На рисунке 1 показаны особенности, указывающие на хрупкое разрушение с минимальной пластической деформацией.



**Рисунок 1.** СЭМ-изображение поверхности хрупкого излома аморфной ленты состава  $Fe_{92}Si_6C_2$



**Рисунок 2.** СЭМ-изображение поверхности хрупкого излома аморфной ленты состава  $Fe_{93}Si_6C_1$

Аморфная лента с составом  $\text{Fe}_{93}\text{Si}_6\text{C}_1$  демонстрирует характерные черты хрупкого разрушения, такие как грубая зернистая текстура, острые края и характерные узоры, связанные с хрупкими изломами. Эти особенности показаны на изображении поверхности излома ленты  $\text{Fe}_{93}\text{Si}_6\text{C}_1$ , выполненном с помощью сканирующего электронного микроскопа (СЭМ) (рисунок 2).

Анализ поверхностей излома показал, что разрушение часто начинается в местах с внутренними дефектами, такими как поверхностные дефекты, микрополости или включения. Эти начальные области служат концентраторами напряжений, вызывая быстрое распространение трещин. В таблице 1 обобщены места начала изломов и их характеристики.

**Таблица 1.**

**Места начала изломов и их характеристики**

<b>Образцы</b>	<b>Место начала излома</b>	<b>Характеристики разрушения</b>	<b>Комментарии</b>
$\text{Fe}_{92}\text{Si}_6\text{C}_2$	Дефекты или включения	Небольшие темные области, главным образом, близко к поверхности	Эти дефекты служат концентраторами напряжений, вызывая появление трещин под растягивающим напряжением. Излом обычно распространяется хрупко от этих мест.
$\text{Fe}_{93}\text{Si}_6\text{C}_1$	Границы зерен или другие нарушения	Острые угловые особенности с небольшой пластической деформацией	Границы зерен или неровные края могут служить слабыми местами, вызывающими трещины. Поверхность излома показывает узоры в виде рек, указывающие направление распространения трещин.

У образцов  $\text{Fe}_{92}\text{Si}_6\text{C}_2$  часто наблюдаются небольшие темные области, расположенные близко к поверхности. Эти дефекты служат концентраторами напряжений и вызывают появление трещин под растягивающим напряжением, что приводит к хрупкому излому от этих мест.

У образцов  $\text{Fe}_{93}\text{Si}_6\text{C}_1$  границы зерен и неровные края обладают острыми угловыми особенностями с небольшой пластической деформацией. Эти границы и неровные края могут служить слабыми местами, вызывающими трещины. Поверхность излома показывает харак-



терные "речные узоры", указывающие направление распространения трещин.

### Заключение

1. Фрактографический анализ показал, что хрупкие разрушения аморфных лент на основе Fe-Si-C зависят от их химического состава и технологических режимов. СЭМ-изображения поверхностей изломов показывают, что распространение микроскопических трещин и внутренние структурные дефекты являются основными факторами, снижающими сопротивление разрушению. Небольшие изменения в составе существенно влияют на распределение внутренних напряжений и стабильность микроструктуры материала.

2. Определено, что микроструктурные особенности поверхностей изломов, такие как радиальные линии и размеры пустот, образовавшихся от трещин, предоставляют ценные сведения о механической прочности аморфных лент Fe-Si-C. На основе этих особенностей анализ механизмов разрушения предоставляет полезные направления для выбора состава и процессов обработки, с целью уменьшения хрупкости и оптимизации механических свойств лент.

### Список литературы:

1. Abbaschian, R., Abbaschian, L. Reed-Hill. R. E. (2009). Physical Metallurgy Principles. Cengage Learning.
2. Abdullayev, A.P., Ahmadov, V.I. and Isayeva, A.A. Magnetic penetration investigation on the bands made of amorphous magnetically soft (CoFe)<sub>75</sub>Si<sub>10</sub>B<sub>15</sub> alloys under the thermal processing // International Journal of Modern Physics B –Singapore: – 2021.v.35, № 3.
3. Akihisa Inoue, Koji Hashimoto Amorphous and Nanocrystalline Materials: Preparation, Properties, and Applications January 2001 DOI: 10.1007/978-3-662-04426-1 ISBN: 978-3-642-08664-9
4. Bresson, L., Harmelin, M. and Calvayrac, Y. Mechanical Properties of the Amorphous Alloy Fe<sub>78</sub>B<sub>13</sub>Si<sub>9</sub> Zeitschrift für Physikalische Chemie March 30, 1988 [https://doi.org/10.1524/zpch.1988.157.Part\\_1.189](https://doi.org/10.1524/zpch.1988.157.Part_1.189)
5. Inoue, A., Wang X.M Bulk amorphous FC20 (Fe–C–Si) alloys with small amounts of B and their crystallized structure and mechanical properties //Acta Materialia Volume 48, Issue 6, 2 April 2000, P. 1383-1395
6. Panahov, T.M, Rafiev N.M., Isaeva A.Ə. , Huseynov A.H. Magnetic Thermocouples Made of CoFe and FeNi Permalloys /Technical physics –2019. v. 89, №.7. – p. 987-990
7. Permayakova I., Glezer, A., “Mechanical behavior of Fe-and Co-based amorphous alloys after thermal action”, Metals, v. 12, n. 2, pp. 297, 2022. doi: <http://doi.org/10.3390/met12020297>

8. Rafiyev N.M, Ahmadov V.I, Isaeva A.Ə. Prospects to use amorphous Fe–Ni–Si–B ribbons in contactor cores // Ukrainian Journal of Physics-2023, Т.68, №3
9. Samuels, L.E. (1982). Light Microscopy of Carbon Steels. American Society for Metals.
10. Абдуллаев А.П., Ахмедов В.И., Шамилов Т.Г., Мамедов Ф.Ш., Мусазаде И.В., Рафиев Н.М., Исаева А.А., Мусаева С.М., Аскерова Г.З., Джабирли Р.Д. Разработка технологии получения аморфных лент Fe-Si-C // Universum: технические науки: научный журнал. –Москва.- 2024. № 8(125).

*Данная работа выполнена при финансовой поддержке Фонда Науки Азербайджана Грант № АЕФ-МҚМ-QA-2-2023-3(45)-05/01/1-М-01*

**НАУЧНЫЙ ФОРУМ:  
ТЕХНИЧЕСКИЕ И ФИЗИКО-МАТЕМАТИЧЕСКИЕ НАУКИ**

*Сборник статей по материалам LXXIX международной  
научно-практической конференции*

№ 11 (79)  
Ноябрь 2024 г.

В авторской редакции

Подписано в печать 07.11.24. Формат бумаги 60x84/16.  
Бумага офсет №1. Гарнитура Times. Печать цифровая.  
Усл. печ. л. 2,125. Тираж 550 экз.

Издательство «МЦНО»  
123098, г. Москва, ул. Маршала Василевского, дом 5, корпус 1, к. 74  
E-mail: tech@nauchforum.ru

Отпечатано в полном соответствии с качеством предоставленного  
оригинал-макета в типографии «Allprint»  
630004, г. Новосибирск, Вокзальная магистраль, 1



**НАУЧНЫЙ  
ФОРУМ**  
nauchforum.ru